

**MODELISATION, SIMULATION ET  
ANALYSE DES SYSTEMES TOLERANTS  
AUX FAUTES A L'AIDE DES RESEAUX  
D'ACTIVITES STOCHASTIQUES (SANS)**

**Samia MAZA**

Centre de Recherche en Automatique de Nancy

UMR 7039

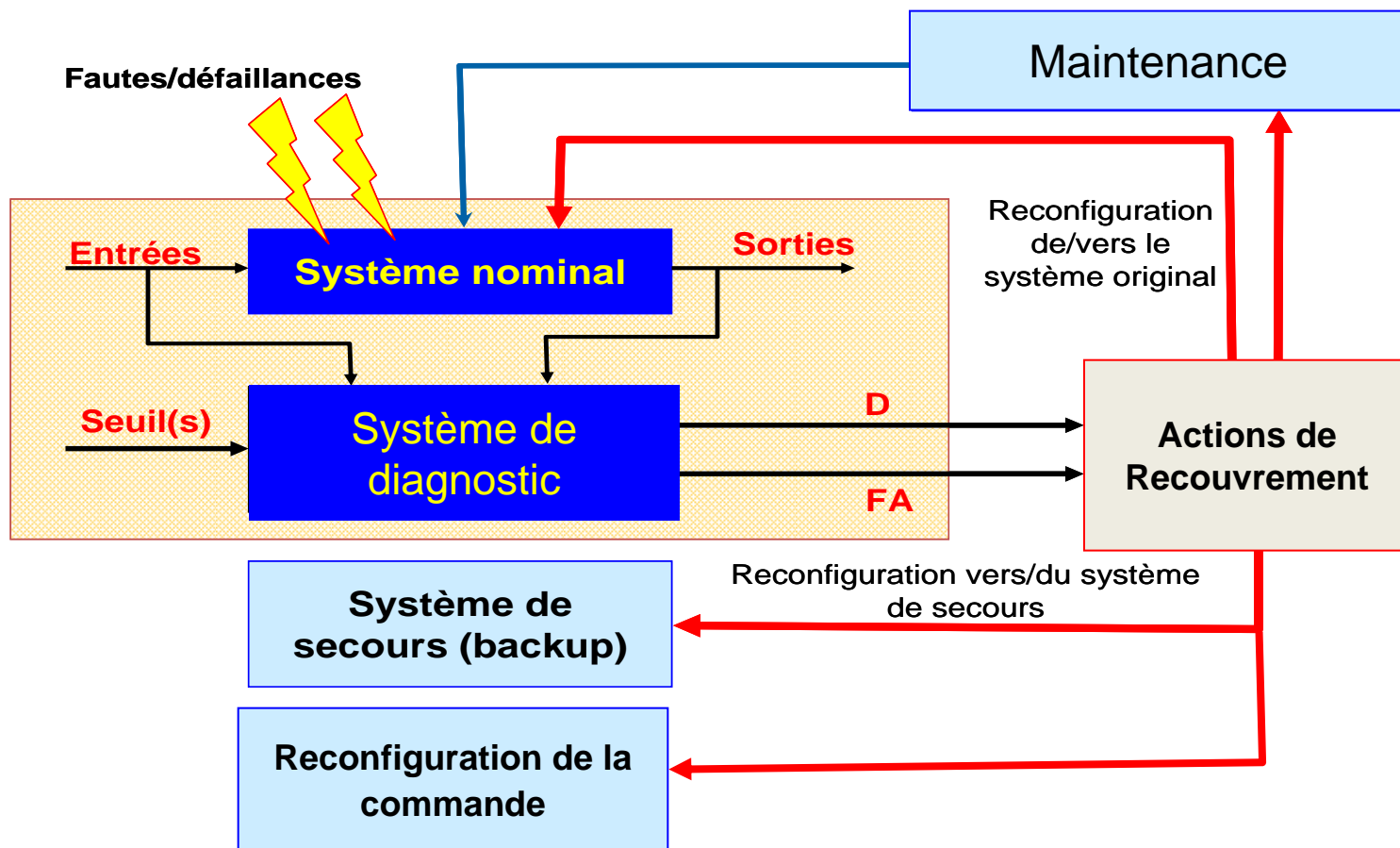
**[samia.maza@univ-lorraine.fr](mailto:samia.maza@univ-lorraine.fr)**



# Plan de l'exposé

- Introduction: Les systèmes tolérants aux fautes.
- Les réseaux d'activités stochastiques (SANs).
- **Partie I** : Approche de modélisation intégrée systématique par les SANs.
  - Etude en simulation (Monte Carlo).
- **Partie II** : Modélisation par les SANs du diagnostic à base d'observateur de Luenberger.
  - Etude en simulation (Monte Carlo).
- Conclusion

# Introduction



Ces fonctions ont un impact sur les paramètres FMDS(\*) globaux

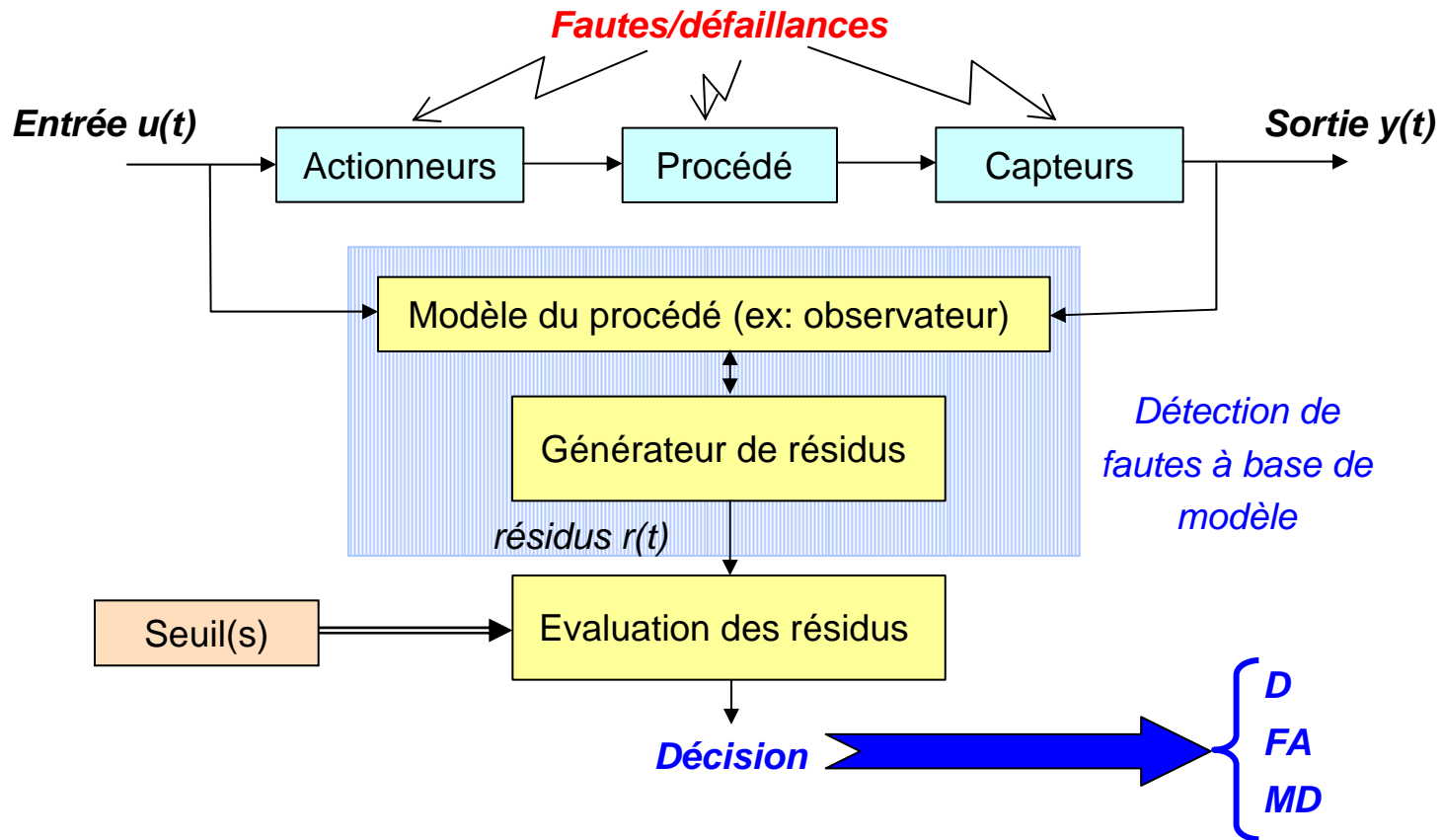
☞ Nécessité de les inclure dans le modèle d'évaluation global (ex: Problème de la fiabilité dynamique)

(\*) FMDS for: Fiabilité, Maintainability, Disponibilité, Sécurité

# Introduction

## 👉 Les fonctions de surveillance: Le diagnostic

Il permet la détection et la localisation de défauts/défaillances du système supervisé.



# Introduction

## 👉 Les fonctions de surveillance: Le diagnostic

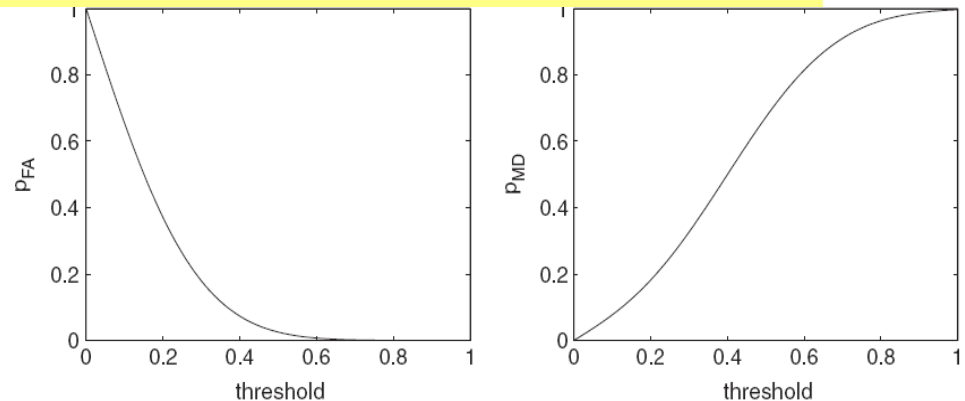
Théoriquement, si  $r_i > 0$  une alarme sera produite.

En pratique, les signaux sont corrompus par des bruits → les résidus  $r_i$  sont alors comparés à un seuil  $J_i$ :

Si  $r_i \geq J_i$  le test génère une alarme → à tort : *FA*  
 → à raison : *D*

Sinon → *MD*  
 → *RAS*

$$\left. \begin{array}{l} P(FA) = P(r \geq J \mid \text{le système est Ok}) \\ P(MD) = P(r < J \mid \text{le système est Ko}) \end{array} \right\} \Rightarrow$$



**Les probabilités de *FA* et de *MD* en fonction du seuil**

# Introduction

👉 Les performances du diagnostic sont souvent ignorées lors de l'évaluation des paramètres de sûreté de fonctionnement des systèmes (FMDS): *la détection des défaillances est souvent supposée instantanée et certaine.*

👉 Les objectifs en terme de paramètres FMDS ne sont pas pris en compte dans la synthèse d'algorithmes de diagnostic.

⇒ Il n'y a pas beaucoup d'interaction entre les études de la sûreté de fonctionnement et le diagnostic

⇒ En automatique aussi...

# Les réseaux d'activités stochastiques (SANs)

## Rappels sur les RdPs stochastiques

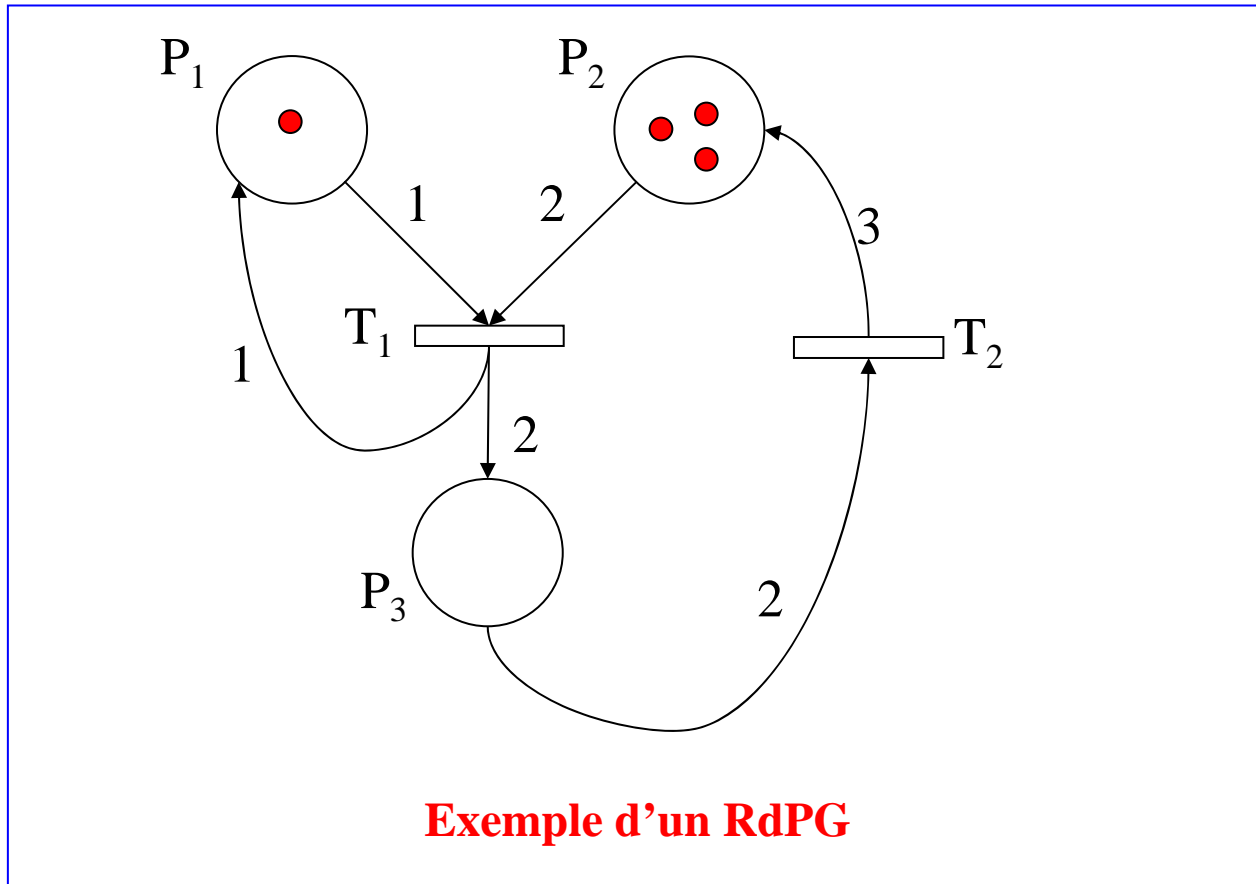
Un RdP stochastique marqué est un graphe orienté biparti défini par le sextuple

$$PN = (P, T, I, O, M_0, \Lambda)$$

- $P$  et  $T$  sont deux ensembles distincts de sommets (désignant resp. les ensemble de places et de transitions).
- $I$  et  $O$  sont deux applications de l'ensemble des arcs vers l'ensemble des nombres naturels, avec:  $I(P_i, T_j): P \times T \rightarrow N$  and  $O(T_j, P_j): T \times P \rightarrow N$ .
- $M_0$  est le vecteur de marquage initial ( $M_0 = (m_0(P1), m_0(P2), \dots, m_0(Pn))^T$ )
- $\Lambda = (\lambda_1, \lambda_2, \dots, \lambda_m)$  est l'ensemble des taux de tirs associés aux transitions temporisées (ayant des durées qui suivent une loi exponentielle) [Marsan, 1990]
- Les transitions peuvent être immédiates avec des probabilités de tir en cas de conflit structurel.

# Les réseaux d'activités stochastiques (SANs)

## Rappels sur les RdPs

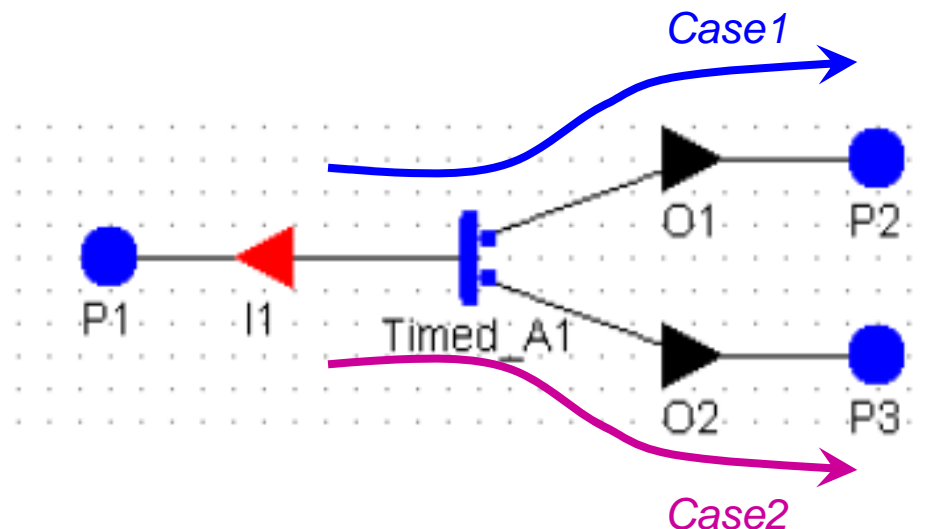


# Les réseaux d'activités stochastiques (SANs)

**Définition informelle des SANs** Extension stochastique aux RdPs classiques avec les primitives suivantes :

- **Places:** elles sont de deux types: **ordinaires** (RdPs) ou **étendues** (~colorées).
- **Activités:** c'est l'équivalent des transitions. Elles sont de 2 types; **immédiates** ou **temporisées**.

Chaque activité a un nombre entier non nul de **Cas de probabilités**.



# Les réseaux d'activités stochastiques (SANs)

## Définition informelle des SANs

- **Portes d'entrée (input gates):** chaque porte possède un nombre fini de places en entrée et une seule activité en sortie → une **fonction de prédicat** et une **fonction d'entrée**.

- **Portes de sortie (output gates):** chaque porte possède un nombre fini de places de sortie et une seule activité en entrée → une **fonction de sortie** est associée à chaque porte.

## Quelques explications...

☞ Une porte d'entrée: (1) placée juste avant une activité permet de :

- Gérer les conditions d'activation de celle-ci (prédicat);
- Gérer les marquages de ses places d'entrée (fonction d'entrée).

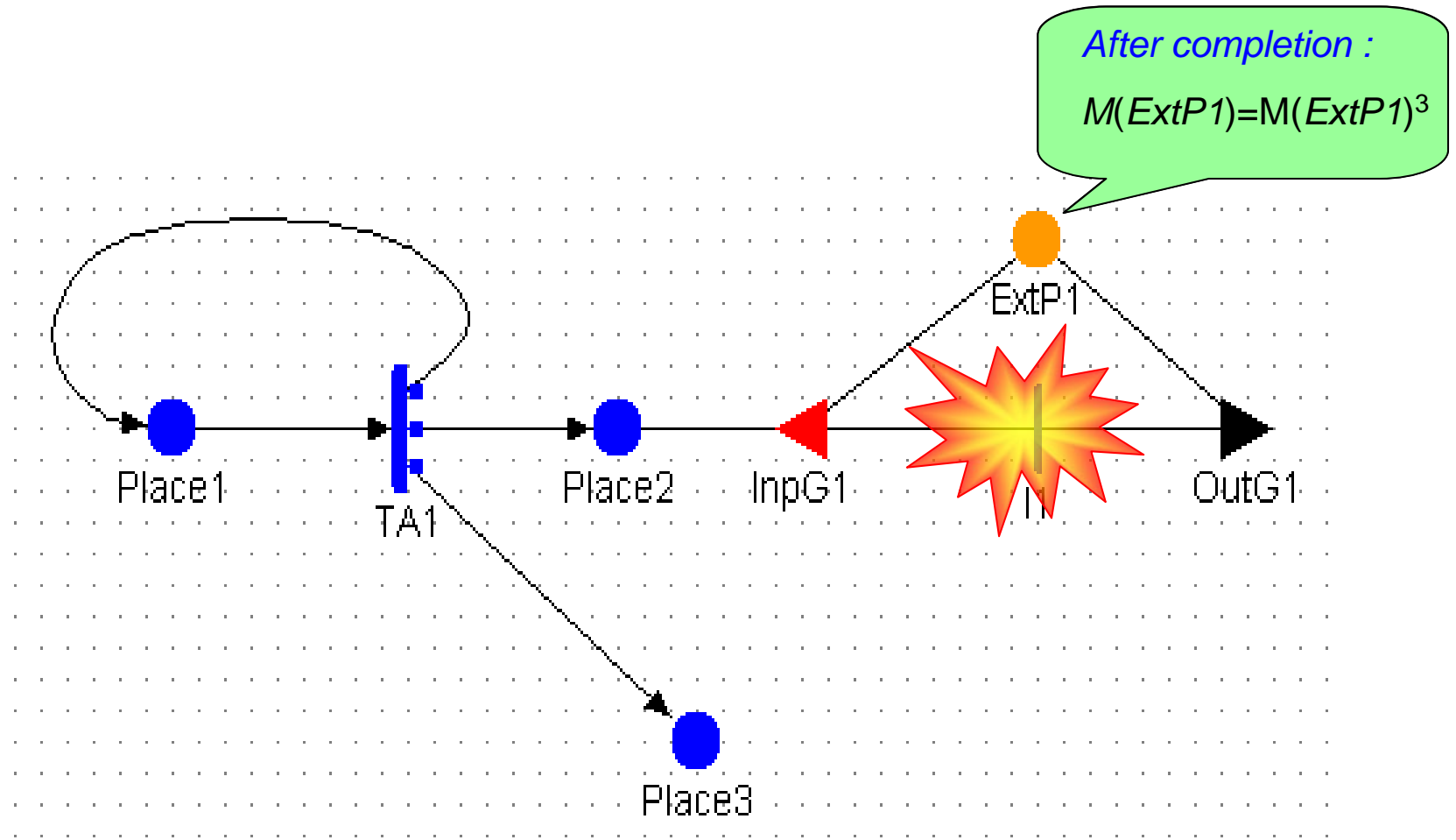
(2) Connectée à une place étendue: elle permet de lire et de modifier son marquage (un réel, un vecteur, une structure mixte de données,...)

☞ Une porte de sortie: (1) placée juste après une activité permet de gérer les marquages de ses places de sortie (fonction de sortie).

(2) Connectée à une place étendue: elle permet de modifier son marquage (comme la porte d'entrée)

# Les réseaux d'activités stochastiques (SANs)

## Définition informelle des SANs



# Modélisation des systèmes tolérants aux fautes par les SANs

## Partie I

- Approche de modélisation/analyse intégrée par les SANs incluant les performances du diagnostic ( $P_D$ ,  $P_{MD}$  et  $P_{FA}$ ) + Quelques procédures de recouvrement.
- Simulations de *Monte Carlo* pour l'évaluation des performances fiabilistes.

# Modélisation des systèmes tolérants aux fautes par les SANs

## Résumé de l'approche d'analyse et de modélisation globale [1]

- 👉 *Analyse fonctionnelle*: décomposition fonctionnelle par la méthode SADT par exemple.
- 👉 *Analyse dysfonctionnelle*: établir le lien entre la panne du système global et celle de ses constituants.
- 👉 Inclusion des éléments clés comme le diagnostic
- 👉 Modélisation systématique par les SANs selon l'approche qui suit
- 👉 Simulation *Monte Carlo* et analyse des résultats

---

[1] S.Maza, *Journal of Risk and Reliability*, vol. 226, pp. 455-463, 2012.

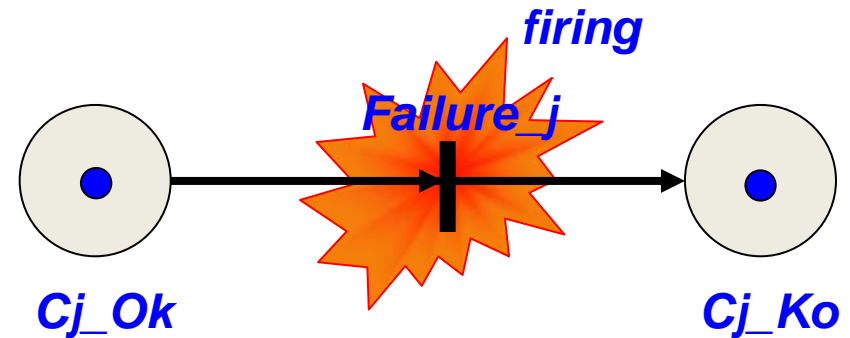
# Modélisation des systèmes tolérants aux fautes par les SANs

(1) **Modélisation dynamique des composants physiques:** chaque composant 'j' est représenté par une paire ( $C_j_{Ok}$ ,  $C_j_{Ko}$ ), où:

- 1 Jeton en  $C_j_{Ok}$  signifie que le composant 'j' est *Ok*
- 1 Jeton en  $C_j_{Ko}$  signifie que le composant 'j' n'est pas *Ok*.
- et une activité temporisée  $Failure_j$  dont la temporisation suit une loi probabiliste (ex. exponentielle).

$$M(C_j^{Ok}) + M(C_j^{Ko}) \leq 1$$

$$M_0(C_j^{Ok}) = 1 \text{ et } M_0(C_j^{Ko}) = 0$$



# Modélisation des systèmes tolérants aux fautes par les SANs

(2) **Modélisation du composant/système de secours:** comme un composant physique par une paire de places  $(P_{Secours}^{Ok}, P_{Secours}^{Ko})$  seulement le marquage initial dépendra de politique de redondance employée:

$M_0(P_{Secours}^{Ok}) = 1$  Pour la redondance active

$M_0(P_{Secours}^{Ko}) = 0$  Pour la redondance passive

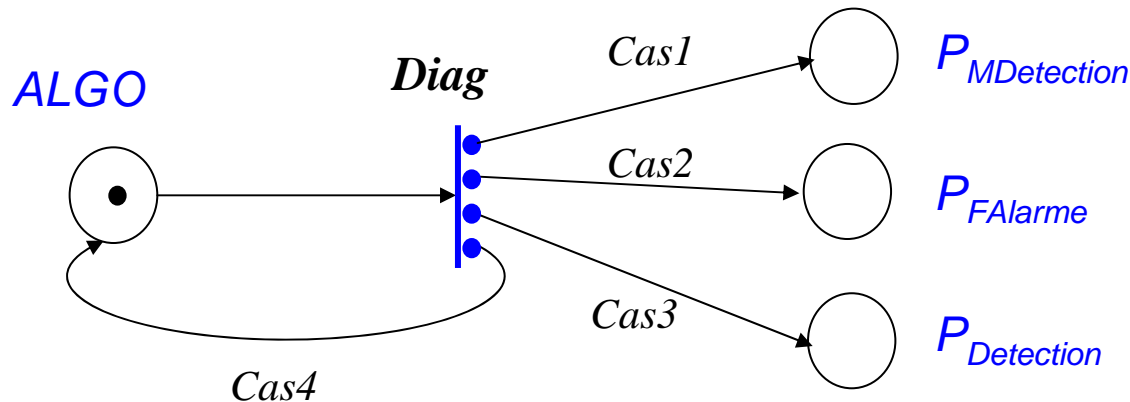
(3) **Modélisation du système de diagnostic:** Il peut être vu comme générateur de trois évènements mutuellement exclusifs:  $D$ ,  $MD$ ,  $FA$ .

Il est nécessaire de connaître les performances de diagnostic en termes de probabilités  $P_D$ ,  $P_{MD}$  et  $P_{FA}$ .

$$alarm = (FA \wedge \overline{super\_component}) \vee (D \wedge super\_component)$$

# Modélisation des systèmes tolérants aux fautes par les SANs

(3) Modélisation du système de diagnostic: trois places modéliseront ces évènements + activité temporisée (*Diag*)



$$P(Cas1) = \begin{cases} P_{MD} & \text{si } M(C_k^{Ko}) = 1 \\ 0 & \text{sinon} \end{cases}$$

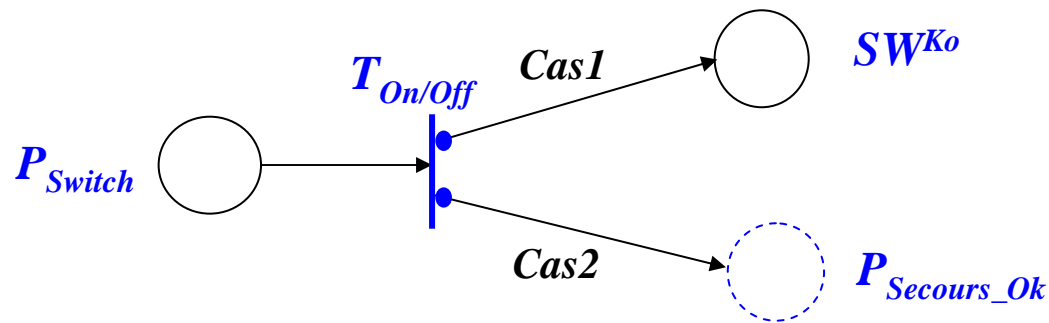
$$P(Cas2) = \begin{cases} P_{FA} & \text{si } M(C_k^{Ok}) = 1 \\ 0 & \text{sinon} \end{cases}$$

$$P(Cas3) = \begin{cases} P_D & \text{si } M(C_k^{Ko}) = 1 \\ 0 & \text{sinon} \end{cases}$$

$$P(Cas4) = \begin{cases} 1 - P_{MD} - P_D & \text{si } M(C_k^{Ko}) = 1 \\ 1 - P_{FA} & \text{sinon} \end{cases}$$

# Modélisation des systèmes tolérants aux fautes par les SANs

(4) **Modélisation du Switch:** Il assure la commutation de la partie fautive du système vers la partie opérationnelle redondante à la première.

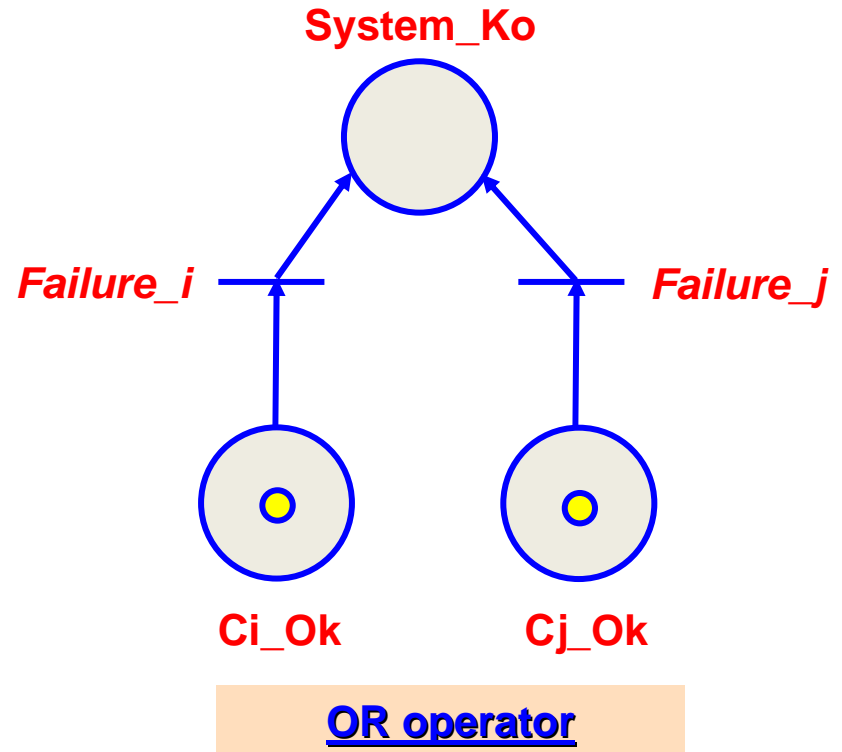
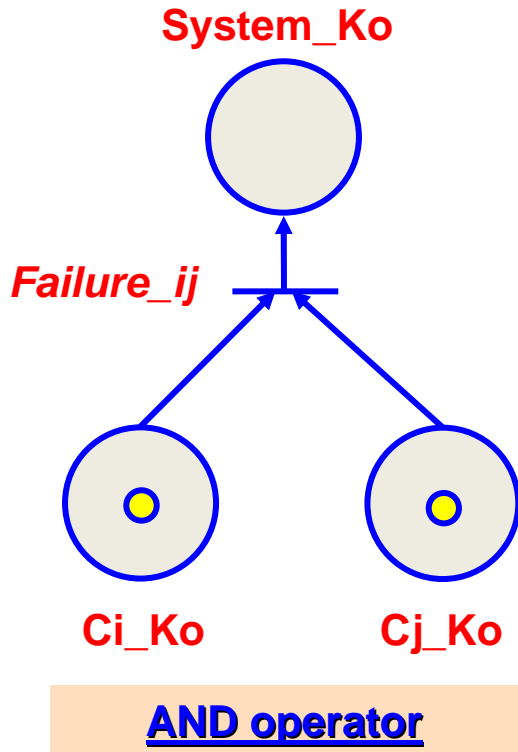


$$M_0(P_{Switch}) = 0$$

Marquage si le système de diagnostic génère une alarme

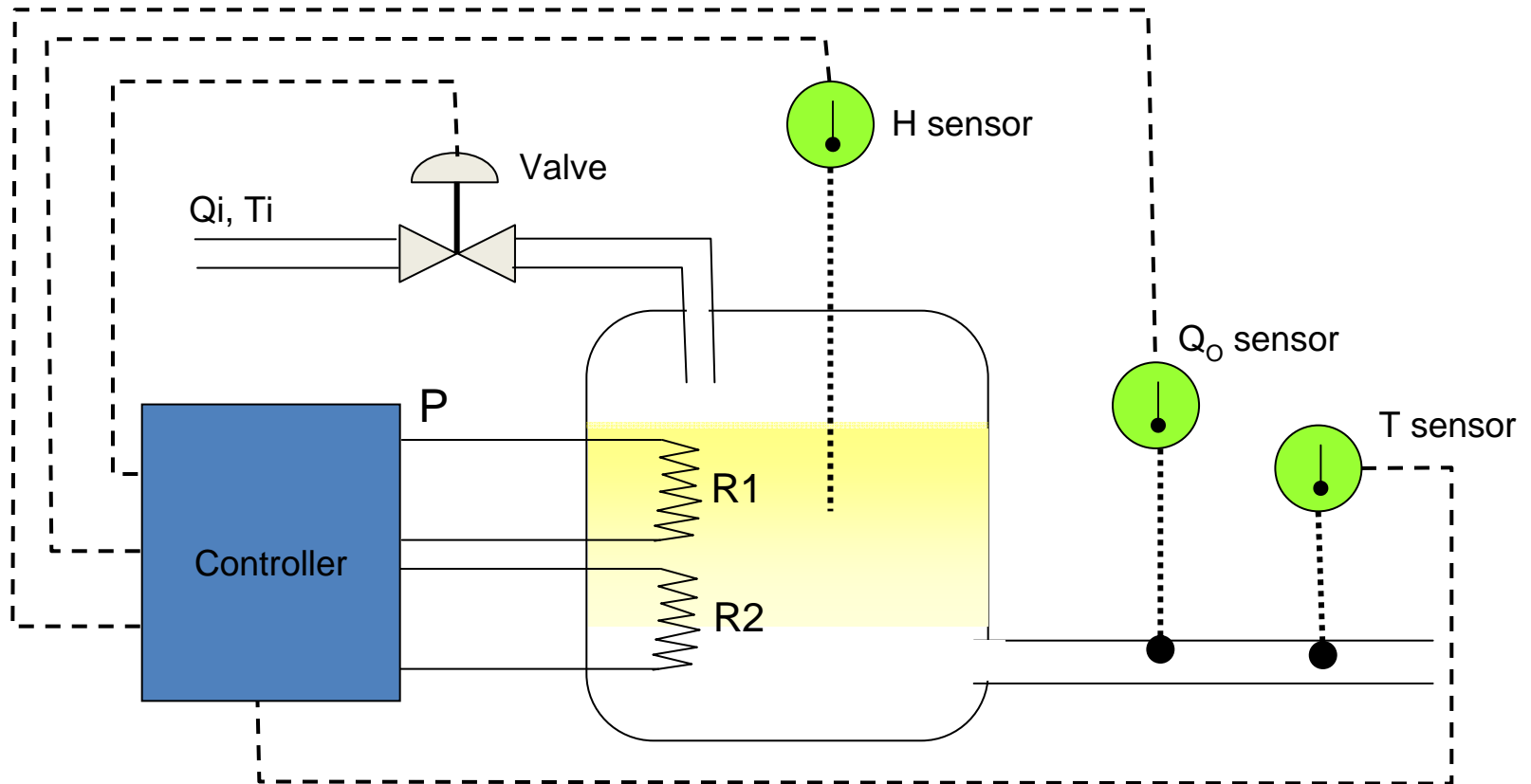
# Modélisation des systèmes tolérants aux fautes par les SANs

(5) **Modélisation globale:** les places et activités de ces différents modules seront reliés les uns aux autres selon une certaine logique (type ET / OU)

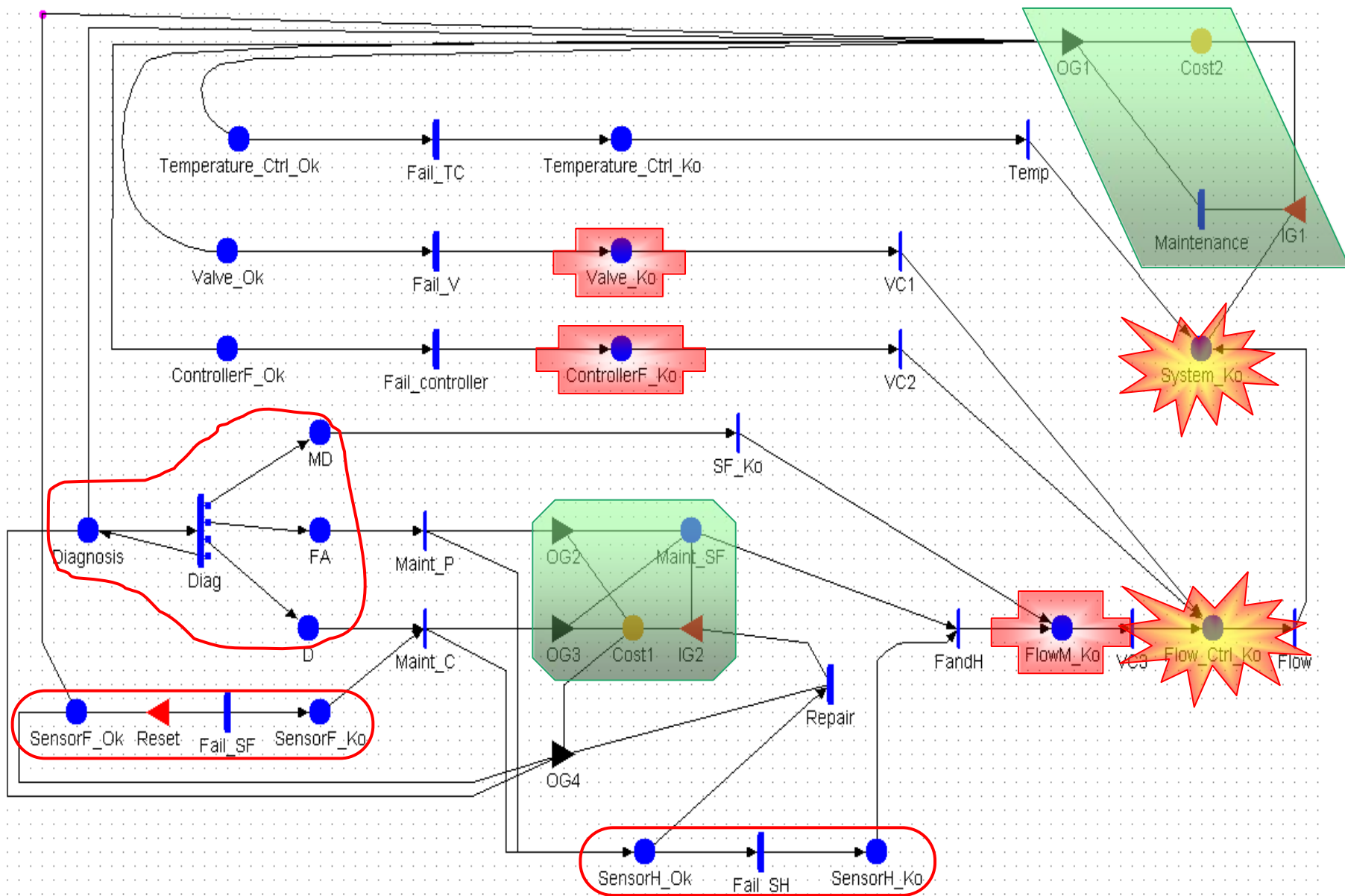


# Etude de cas

**Le système :** Système automatisé de régulation de température et de débit  
(le capteur de hauteur est en redondance avec celui du débit)

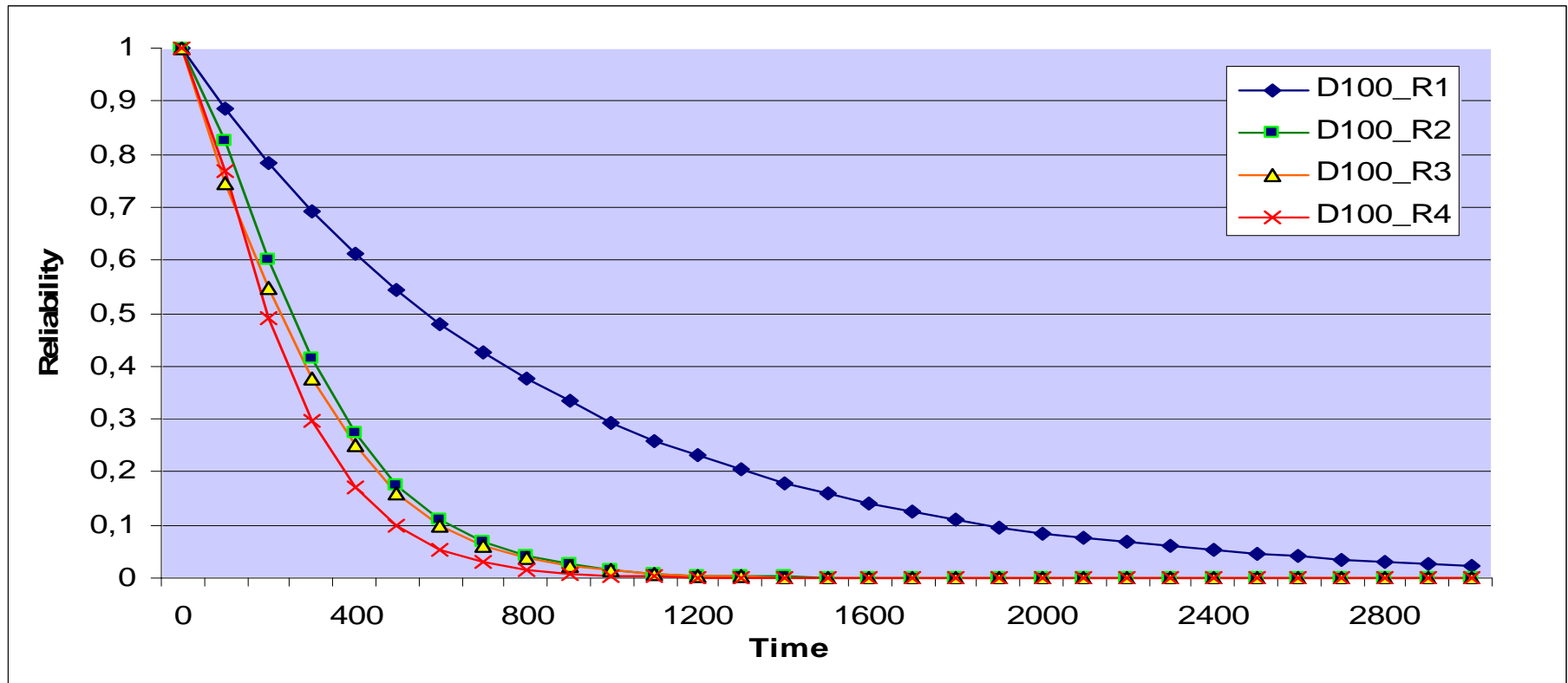


# Etude de cas



## Résultats de simulation [3] Evaluation de la fiabilité

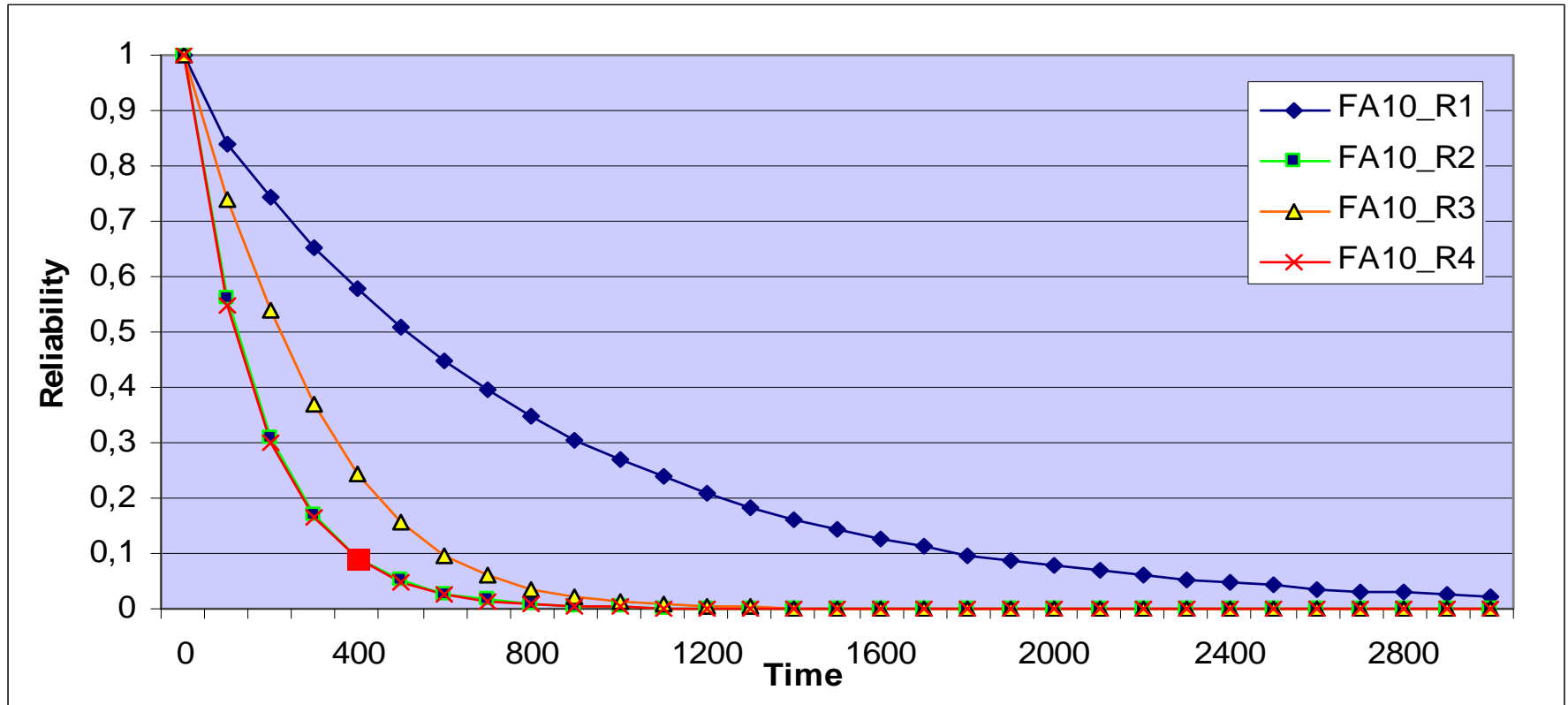
$R1$ =Maint&RedPass,  $R2$ =SansMaint&RedPass,  $R3$ =Maint&RedAct,  $R4$ =SansMaint&RedAct



The time evolution of the FT-system reliability when the fault detection is made with certainty ( $P_D=100\%$ ) for the models  $R_k$ ,  $k=1,4$ .

## Résultats de simulation [3] Evaluation de la fiabilité

$R1$ =Maint&RedPass,  $R2$ =SansMaint&RedPass,  $R3$ =Maint&RedAct,  $R4$ =SansMaint&RedAct

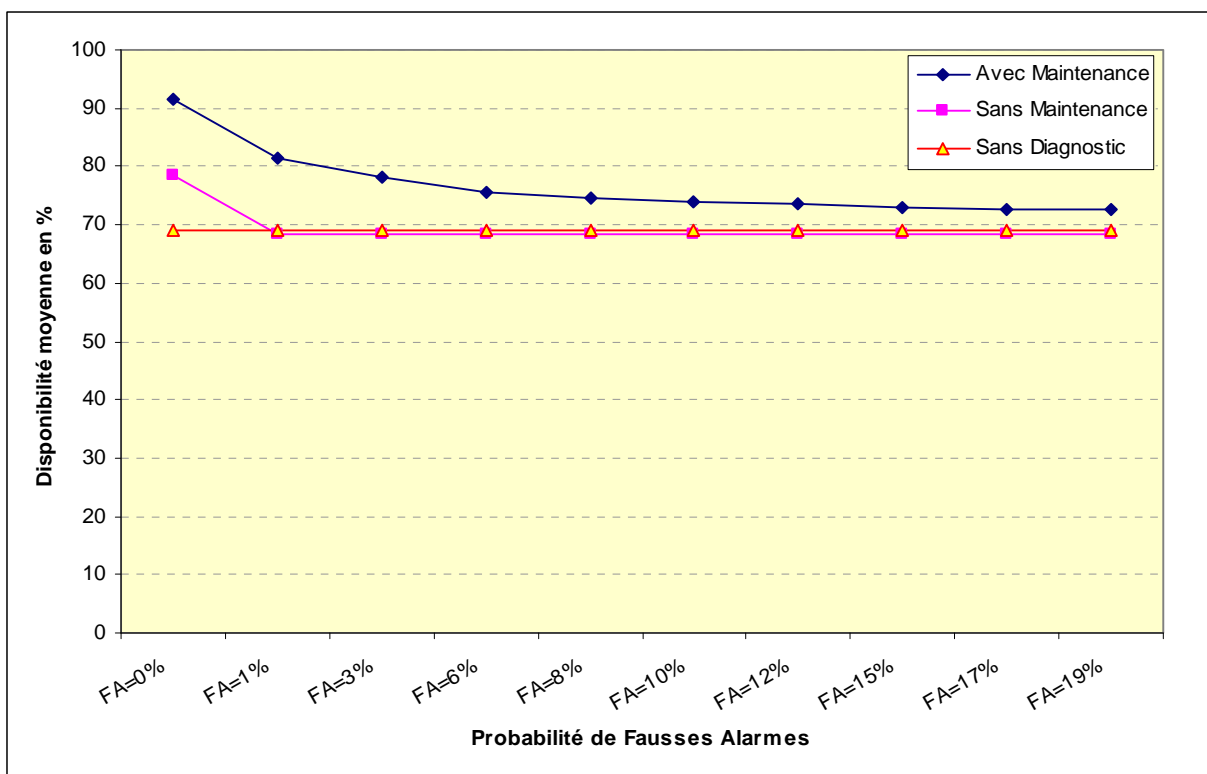


The time evolution of the FT-system reliability when the fault detection is made with certainty ( $P_D=80\%$  and  $P_{FA}=10\%$ ) for the models  $Rk$ ,  $k=1,4$ .

## Résultats de simulation [2] Evaluation de la disponibilité

### Cas 1 : les capteurs en redondance ont la même fiabilité

$$(\lambda_{\text{SensorF}} = \lambda_{\text{SensorH}} = 5 \cdot 10^{-4})$$

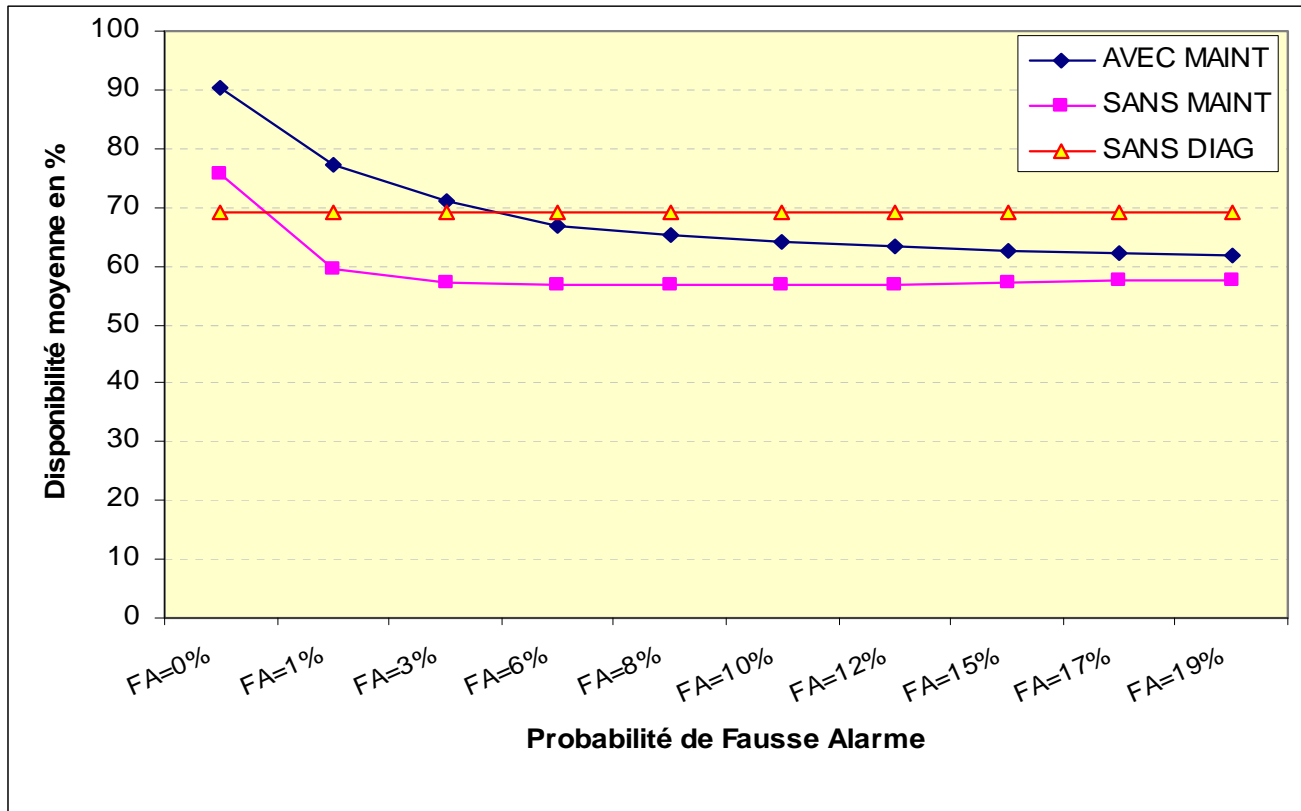


[2] S.Maza, Congrès *Lambda Mu*, Tours, 2013.

## Résultats de simulation [2] Evaluation de la disponibilité

### Cas 2 : le capteur principal est plus fiable que son backup

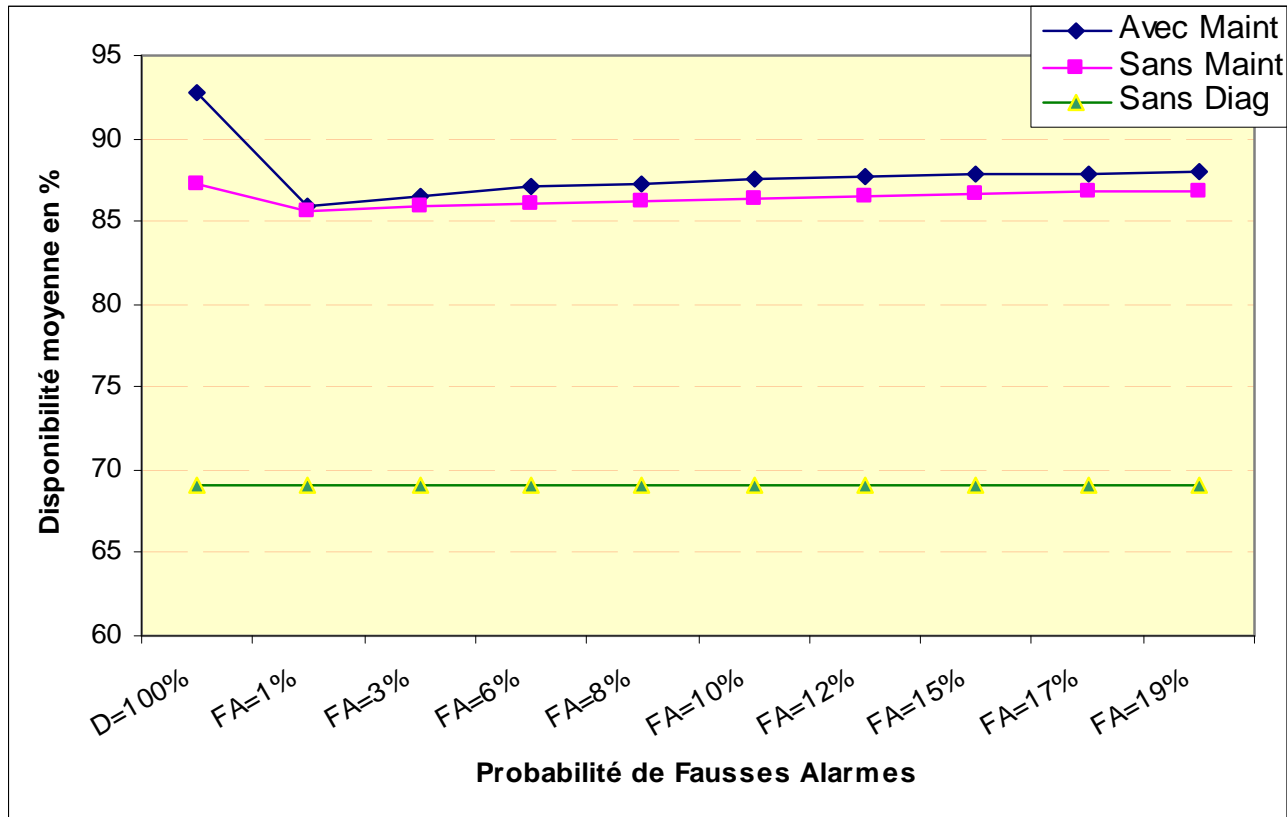
$$(\lambda_{\text{SensorF}}=5.10^{-4}, \lambda_{\text{SensorH}}=9.10^{-3})$$



## Résultats de simulation [2] Evaluation de la disponibilité

### Cas 3 : le capteur principal est moins fiable que son backup

$$(\lambda_{\text{SensorF}}=5.10^{-3}, \lambda_{\text{SensorH}}=1.10^{-3})$$



## Conclusion sur la Partie I

- Approche de modélisation intégrée, systémique et systématique, incluant explicitement les performances du diagnostic
- **Complexité algorithmique polynomiale** (nombre de places/activités proportionnel au nombre de composants/fonctions) → *Un gros avantage par rapport aux outils comme les automates par ex.*
- Résultats de l'étude de l'impact du diagnostic et des politiques de redondances et de maintenance sur les performances globales →  
Motive l'utilisation d'approches d'analyse et de modélisation intégrée pour l'évaluation des paramètres de sûreté de fonctionnement
- 👉 **Connaissance à priori des probabilités de *D*, *FA* et *MD***

## Partie II: Modélisation complète de la procédure de diagnostic par observateur de *Luenberger*<sup>(\*)</sup>

### Objectifs:

- Modéliser le système de diagnostic, à base d'observateur de *Luenberger*, de façon explicite et détaillée;
- Simulations *Monte Carlo* pour étudier directement l'impact des paramètres de synthèse du superviseur (*Ex*: le seuil de détection) sur les paramètres *FMDS* du système tolérant au fautes.
  - ☞ Être indépendants des valeurs de  $P_D$ ,  $P_{FA}$  et  $P_{MD}$  qui sont souvent pas connus.

<sup>(\*)</sup> Publié en ligne dans *International Journal of Quality and Reliability Engineering*, juin 2014

# Partie II: Modélisation complète de la procédure de diagnostic par observateur de *Luenberger*<sup>(\*)</sup>

## Principe :

### (1) Le modèle d'état discrétisé du système nominal :

$$\begin{cases} x_{k+1} = A_d x_k + B_d u_k & (a) \\ y_k = C_d x_k & (b) \end{cases} \implies y_k = C_d x_k + \underbrace{F_d v_k}_{\text{noise}} + \underbrace{G_d \xi_k}_{\text{fault}}$$

### (2) Le modèle discrétisé de son observateur :

$$\begin{cases} \hat{x}_{k+1} = A_d \hat{x}_k + B_d u_k + L(y_k - \hat{y}_k) & (a) \\ \hat{y}_k = C_d \hat{x}_k & (b) \end{cases}$$

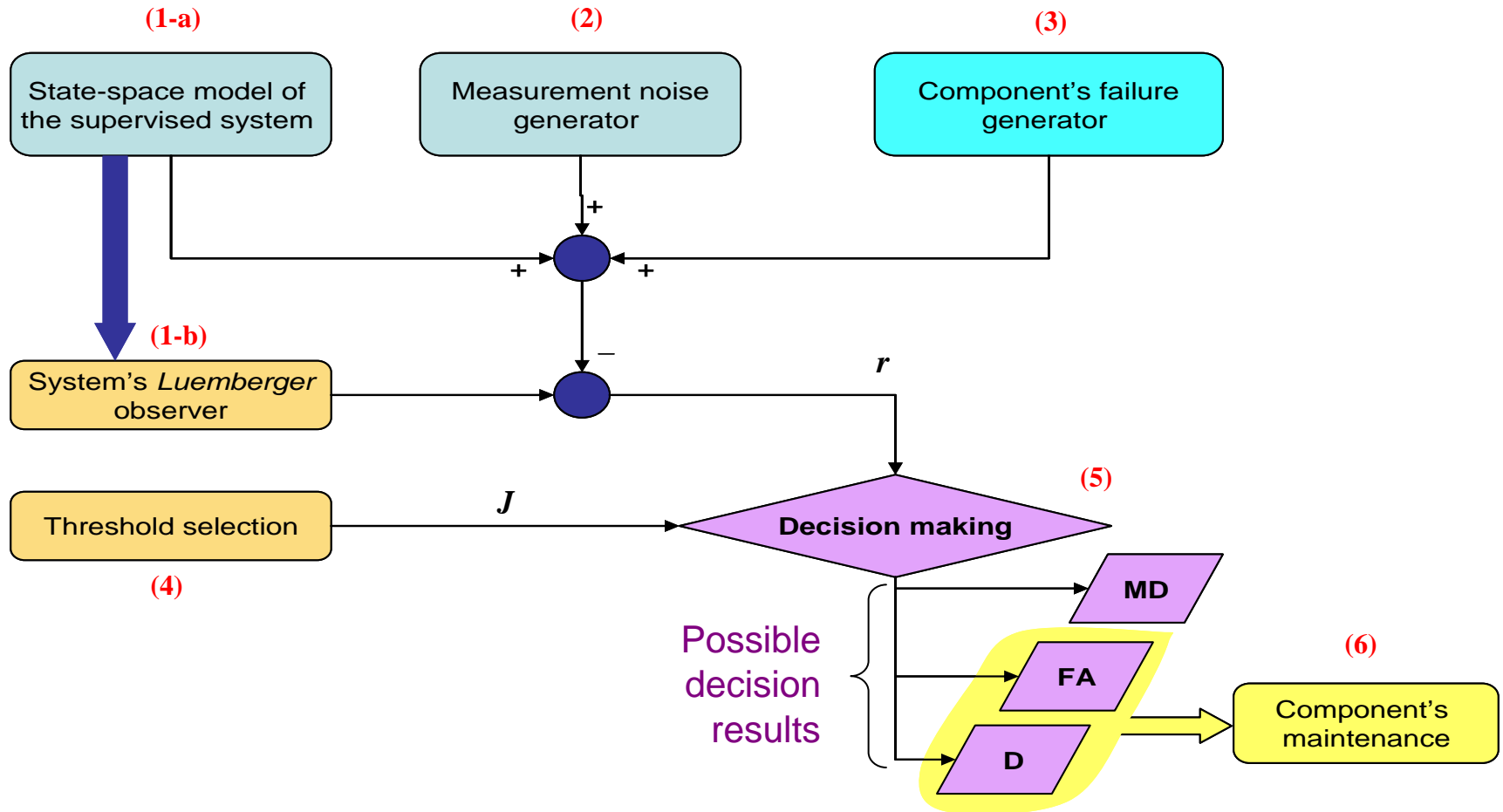
$v_k$  is a random noise modelled as a Gaussian white noise  
 $\xi_k$  models the sensor's fault effect (3 types: bias, derivative, oscillatory)

### (3) Les résidus :

$$r_{i,k} = y_{i,k} - \hat{y}_{i,k}$$

Où  $i$  est la composante du vecteur considéré

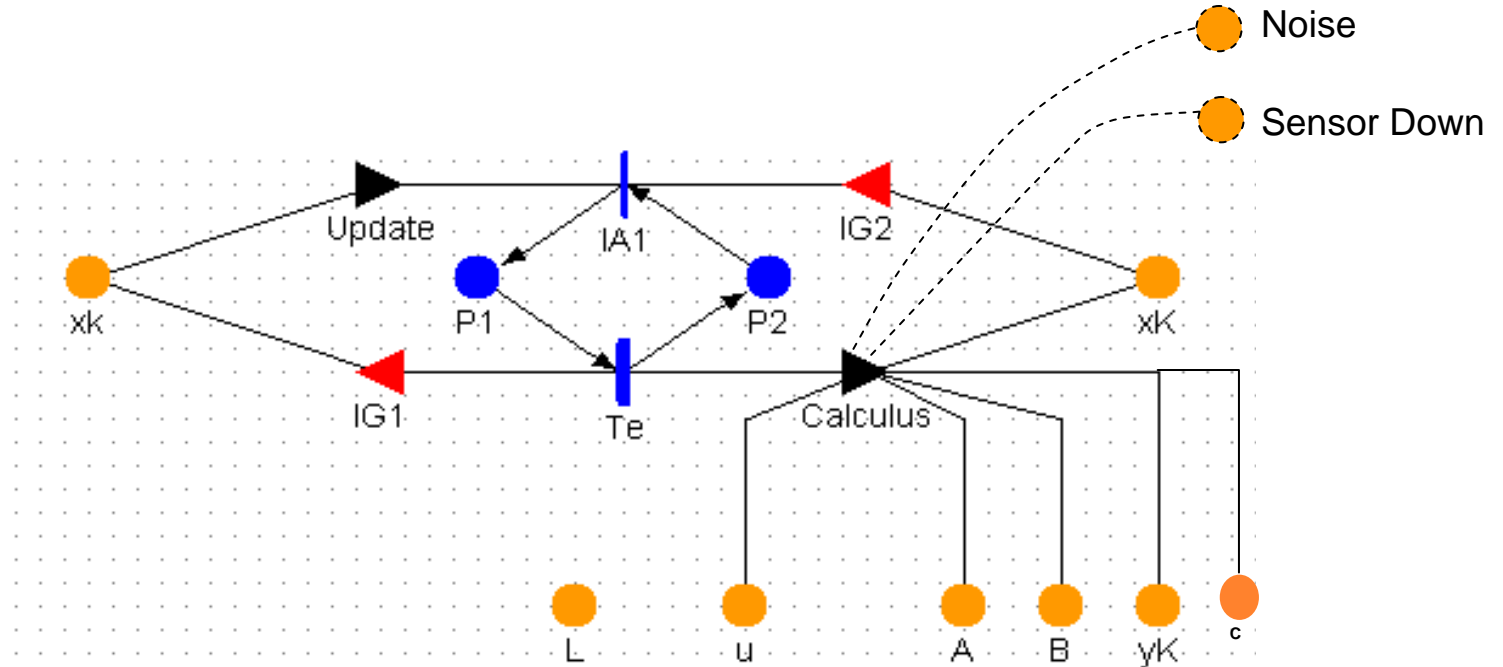
# Partie II: Modélisation complète de la procédure de diagnostic par observateur de *Luenberger*<sup>(\*)</sup>



**A general scheme for the development of the observer-based diagnosis SAN-model**

# Partie II: Modélisation complète de la procédure de diagnostic par observateur de *Luenberger*<sup>(\*)</sup>

## Modèle SAN du système nominal

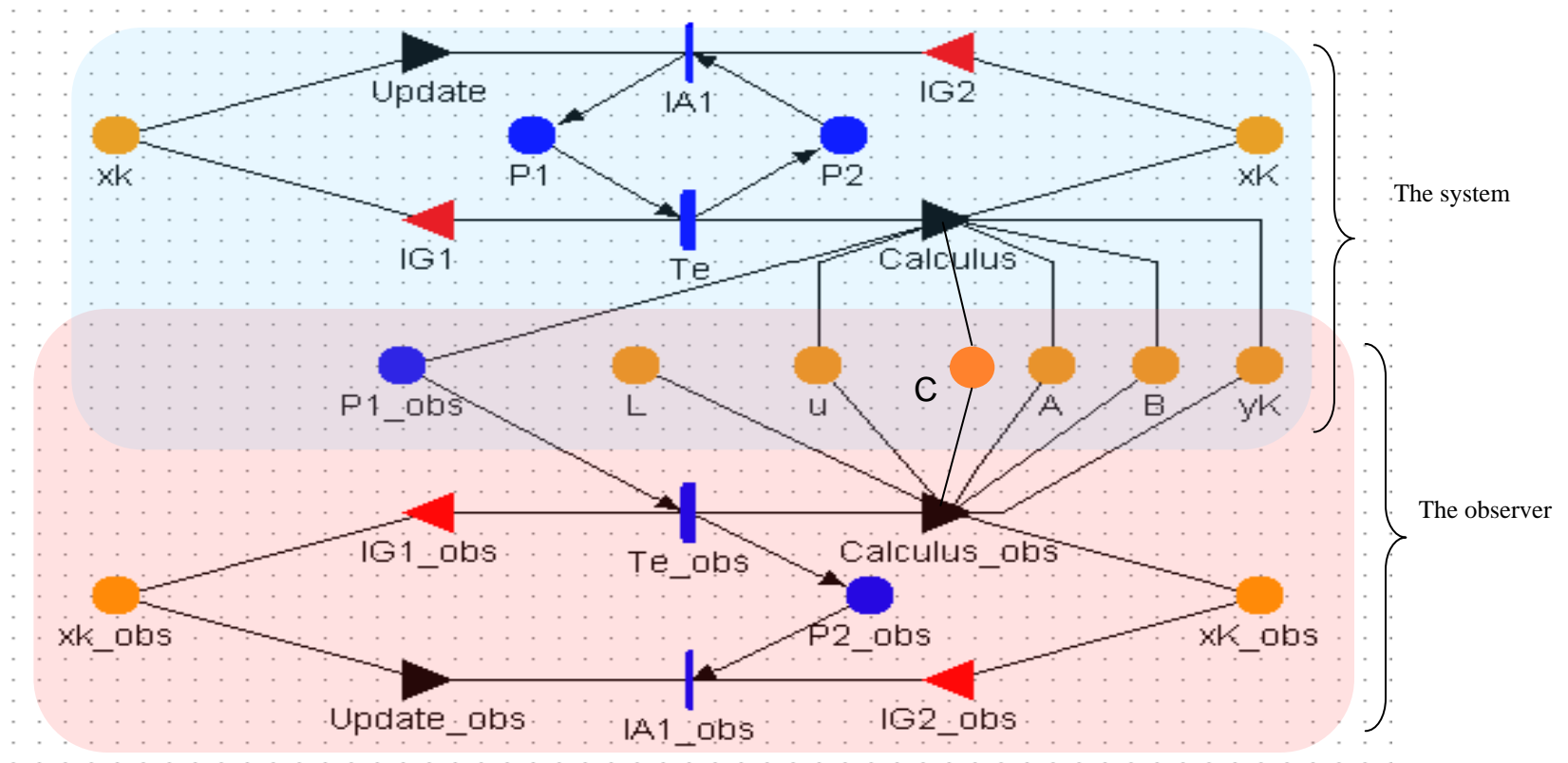


The SAN modelling of the system's state space equations.

Avec :  $M(P1)+M(P2)=1$

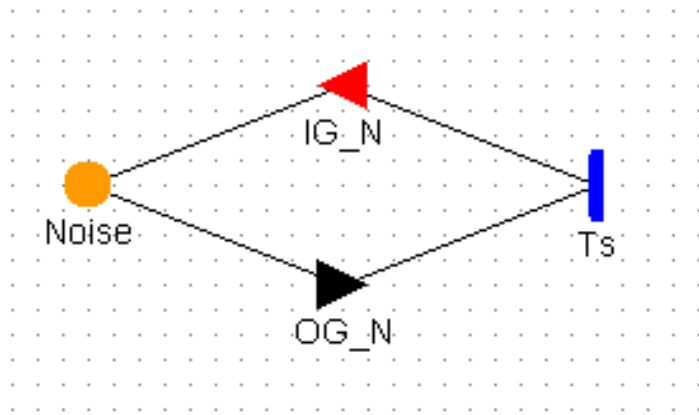
# Partie II: Modélisation complète de la procédure de diagnostic par observateur de *Luenberger*<sup>(\*)</sup>

## Modèle SAN du système nominal & son observateur

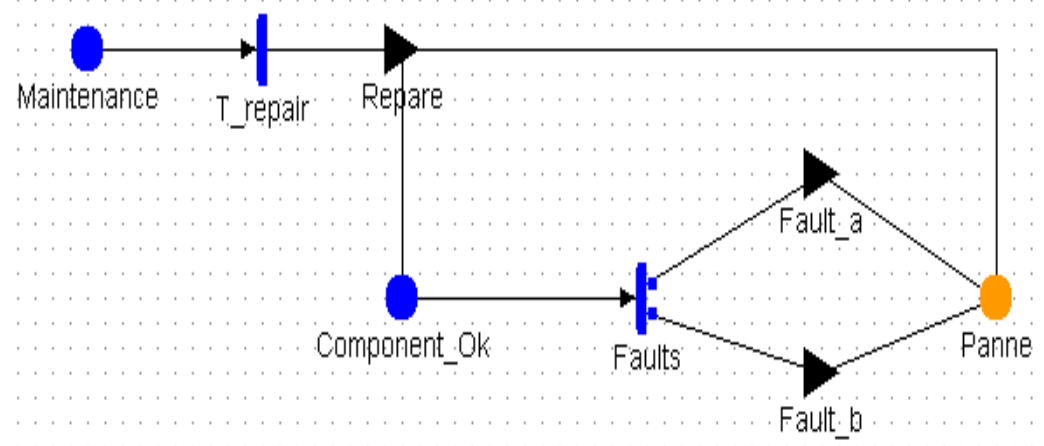


# Partie II: Modélisation complète de la procédure de diagnostic par observateur de *Luenberger*<sup>(\*)</sup>

## Modèle SAN du bruit et du défaut



(a) The noise model



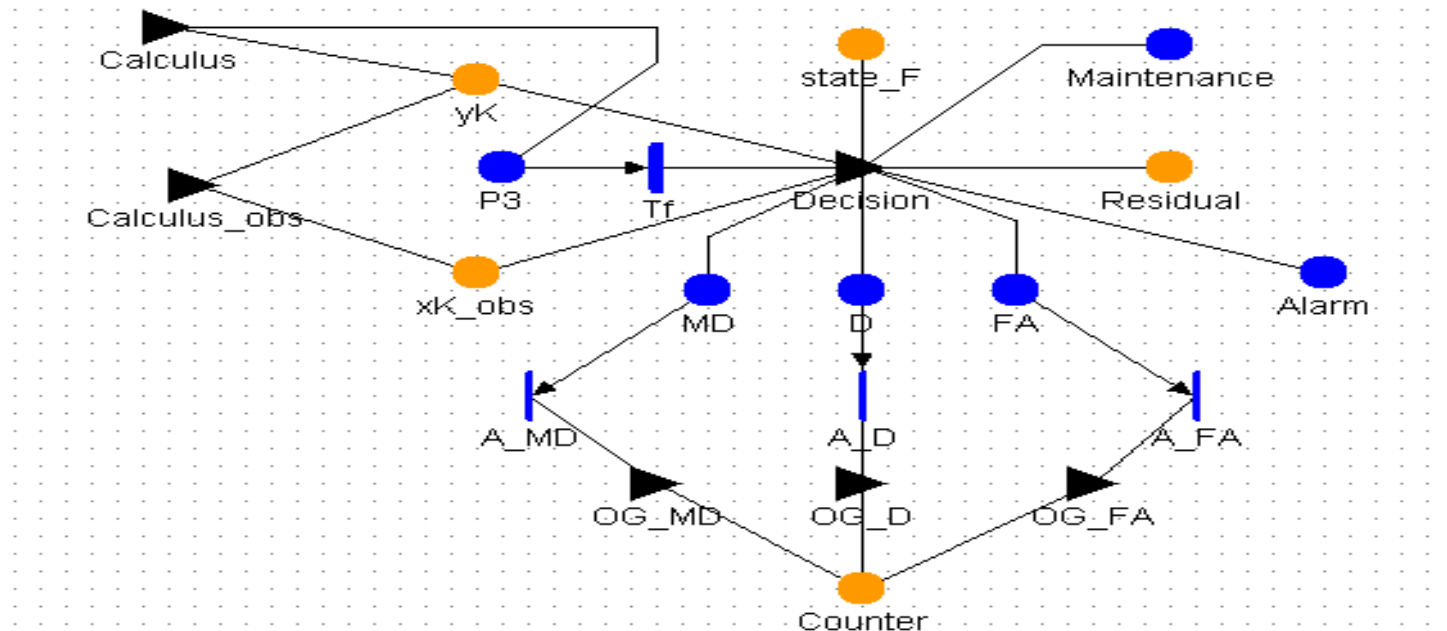
$$\xi = \begin{cases} \alpha, & \text{for } Fault\_a \\ \beta, & \text{for } Fault\_b \end{cases} \quad \text{with} \quad \alpha \gg \beta$$

(b) Component's fault model

The SAN modelling of the sensor's noise and faults

# Partie II: Modélisation complète de la procédure de diagnostic par observateur de *Luenberger*<sup>(\*)</sup>

## Modèle SAN de la prise de décision :

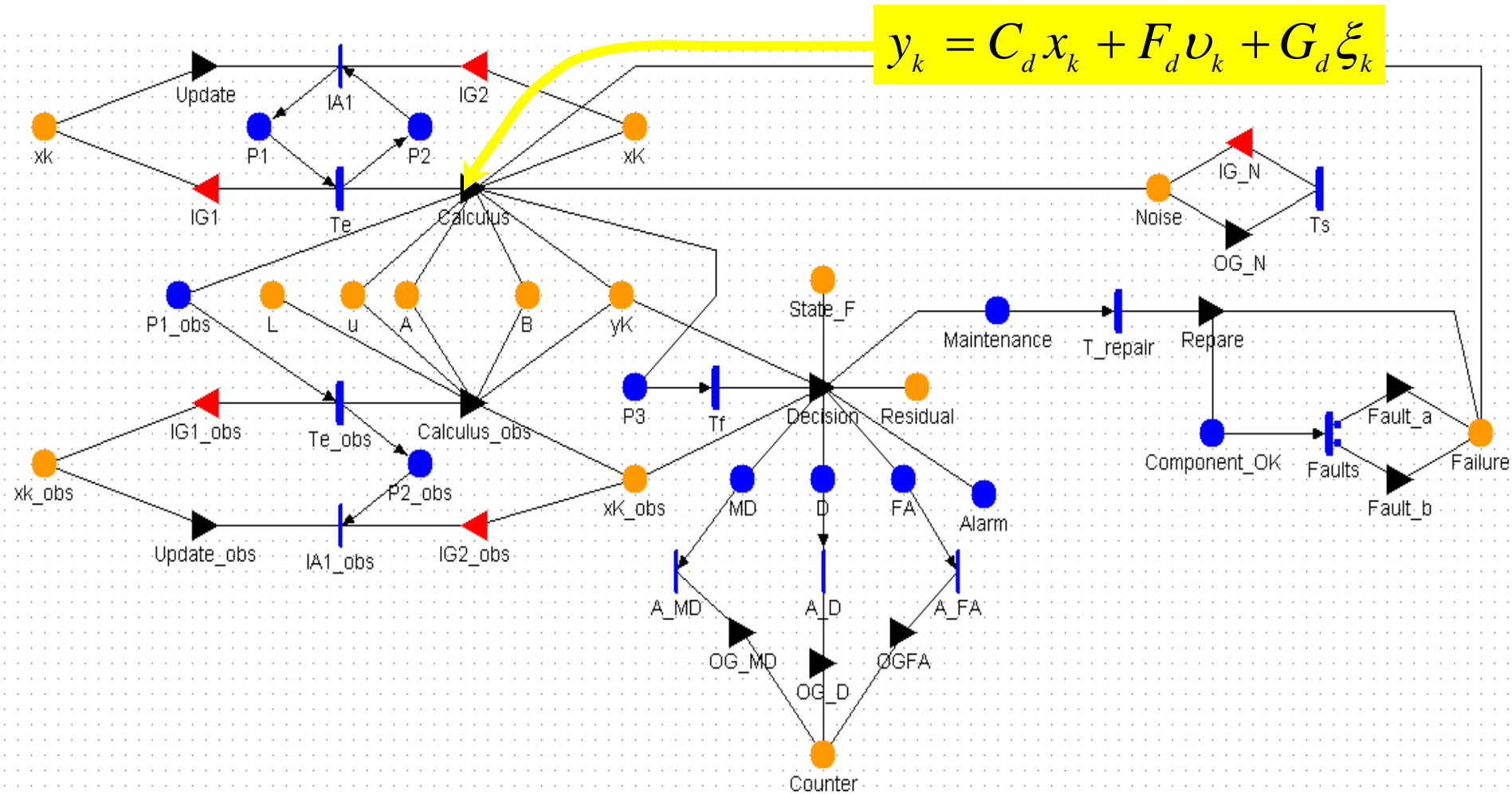


The SAN modelling of the diagnosis decision making

# Partie II: Modélisation complète de la procédure de diagnostic par observateur de *Luenberger*(\*)

**Modèle SAN du système supervisé avec son superviseur :**

$$y_k = C_d x_k + F_d v_k + G_d \xi_k$$



# Partie II: Modélisation complète de la procédure de diagnostic par observateur de *Luenberger*(\*)

## The system's equations

$$\left\{ \begin{array}{l} \frac{dh(t)}{dt} = \frac{1}{S} \left( Q_i(t) - s\sqrt{2gh} \right) \\ \frac{dT(t)}{dt} = \frac{1}{S \cdot h(t)} \left( \frac{P(t)}{\rho C} - (T(t) - T_i) \times Q_i(t) \right) \end{array} \right. \text{ avec } \begin{cases} x(t) = \begin{pmatrix} T(t) \\ h(t) \end{pmatrix} \\ y(t) = x(t) \\ u(t) = \begin{bmatrix} Q_i \\ P \end{bmatrix} \end{cases} \rightarrow \begin{cases} \begin{pmatrix} x_{1,k+1} \\ x_{2,k+1} \end{pmatrix} = A_d x_k + B_d u_k = \begin{pmatrix} 0.98 & 0 \\ 0 & 0.98 \end{pmatrix} \begin{pmatrix} x_{1,k} \\ x_{2,k} \end{pmatrix} + \begin{pmatrix} -50 & 0 \\ 1 & 1 \end{pmatrix} \begin{pmatrix} u_{1,k} \\ u_{2,k} \end{pmatrix} \\ y_k = x_k + \xi_k + v_k \end{cases}$$

## The supervised sensor's dependability and physical parameters

- Failure of sensor1  $\rightarrow$  a constant failure rate,  $\lambda=0.09$ , and follows an exponential distribution with parameter  $\lambda$ .
- Two possible fault effects with two different magnitudes:  $\alpha=5$  and  $\beta=0.6$
- Fault1 is more likely to be detected and has a bigger probability to happen:  $P_\alpha=0.8$  and  $P_\beta=0.2$
- Sensor noise  $\rightarrow$  uniform distribution with parameters  $(\gamma_1, \gamma_2) = (-|\Delta_{noise}|, |\Delta_{noise}|)$  avec  $\Delta_{noise} = \pm 3\% \cdot y_{ss} = 0.8$

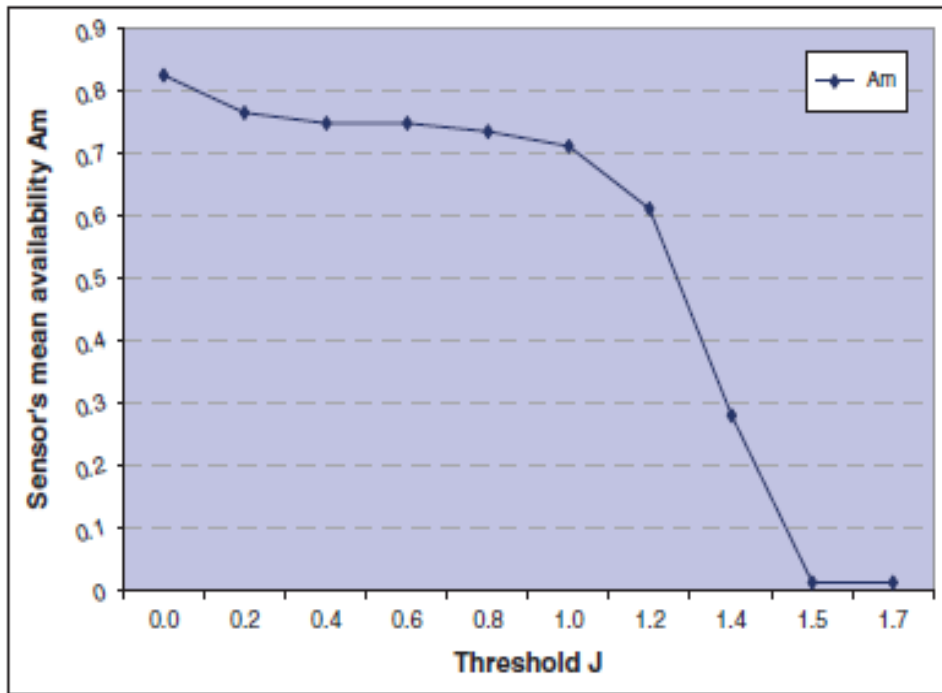
## The MC simulations parameters

The number of simulated histories  $N_h$  is chosen  $10^3 \leq N_h \leq 10^4$ . Each history has a duration of  $T_h=10^5$  t.u.

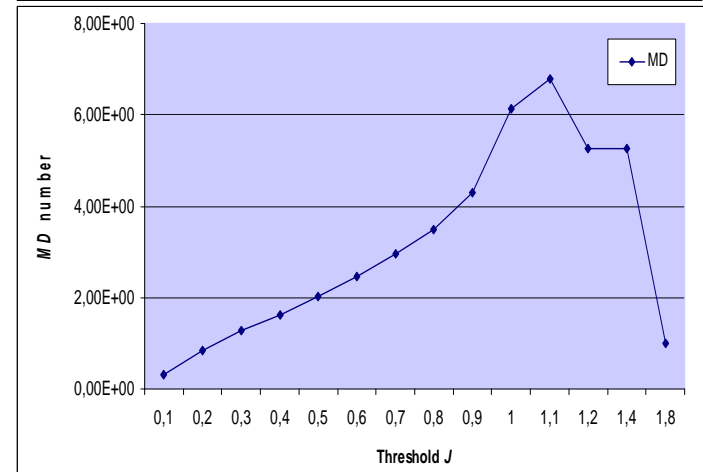
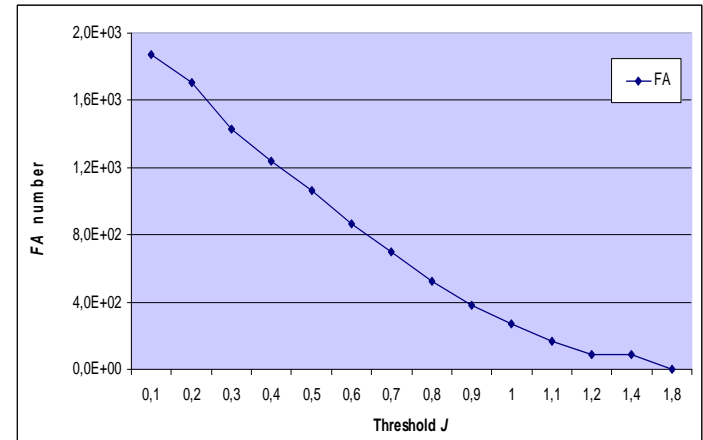
Confidence level=95% & confidence interval=10%

# Partie II: Modélisation complète de la procédure de diagnostic par observateur de *Luenberger*(\*)

## Simulation results



(b) The sensor's mean availability  $A_m$

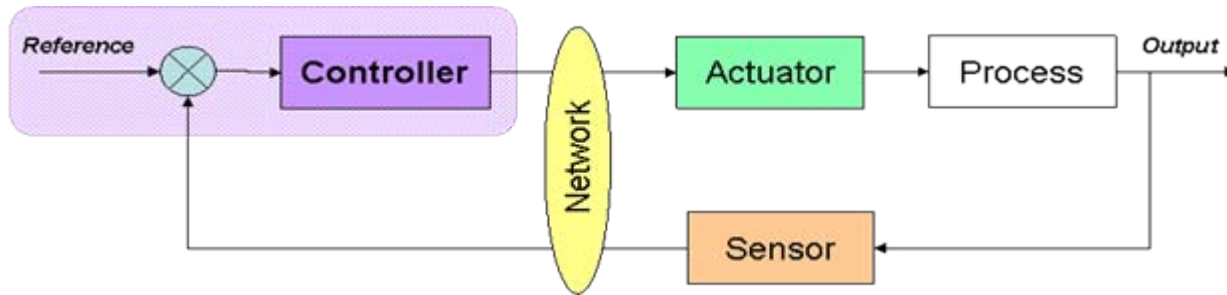


The impact of the threshold  $J$  value on the diagnosis performance indicators: *FA* and *MD*.

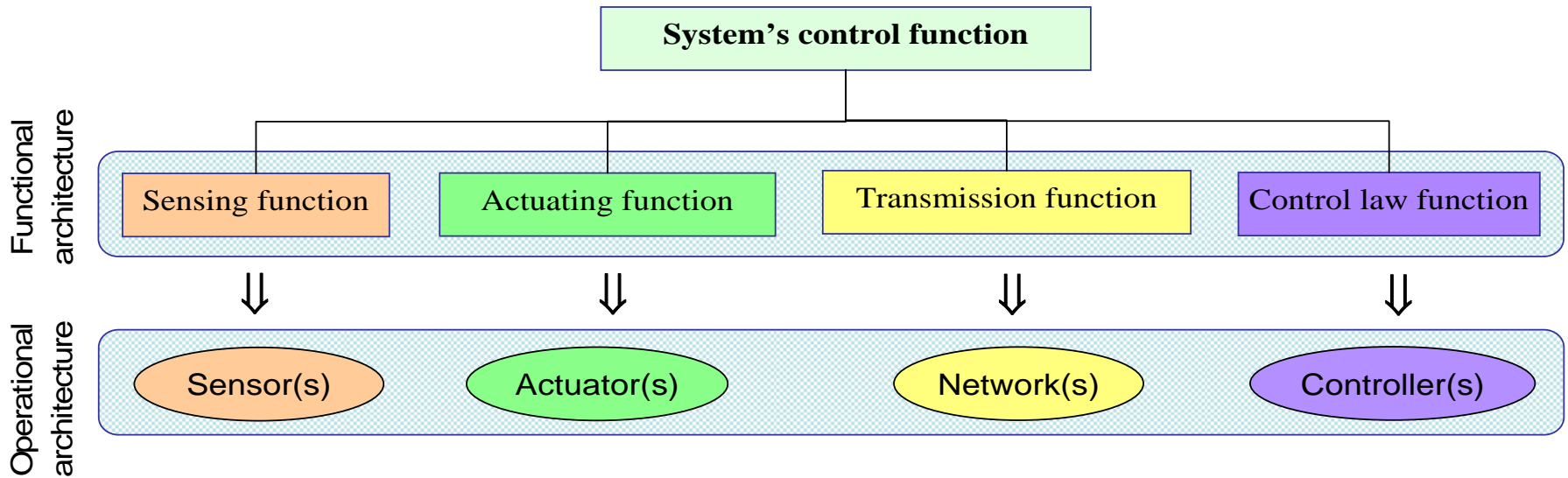
# La suite...

- Etudier l'impact du seuil sur les paramètres FMDS du système tolérant aux fautes global (incluant donc des actions de maintenance et de reconfiguration).
- D'autres paramètres du diagnostic : Des suggestions ??
- Diagnostic plus réaliste par banc d'observateurs (les fautes sont identifiables par la signature de plusieurs résidus)
- Prise en compte de la commande dans la modélisation/analyse
- Stratégies de reconfiguration plus complexes

# Etude de cas

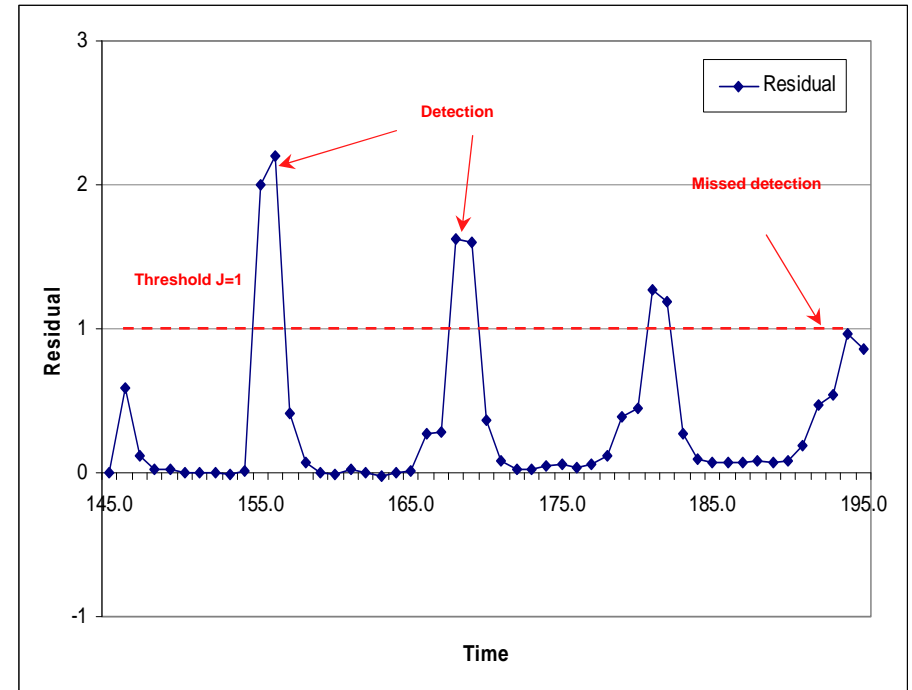
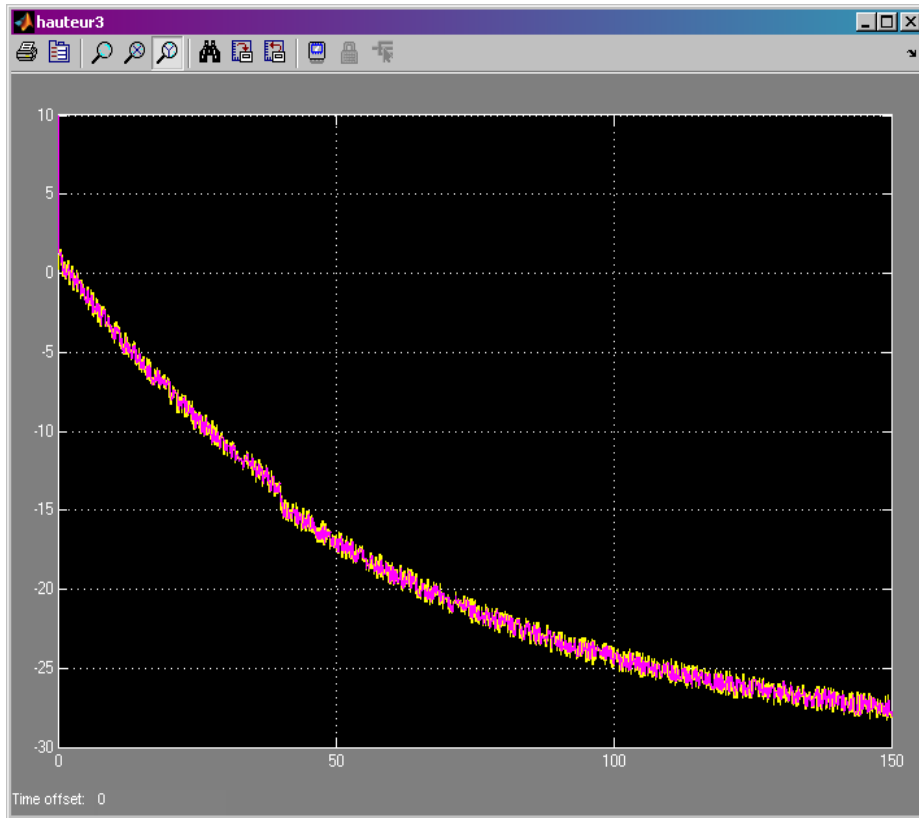


The closed loop functional scheme of an automated system



The functional decomposition applied to a general automated system

# Partie II: Modélisation complète de la procédure de diagnostic par observateur de *Luemberger*

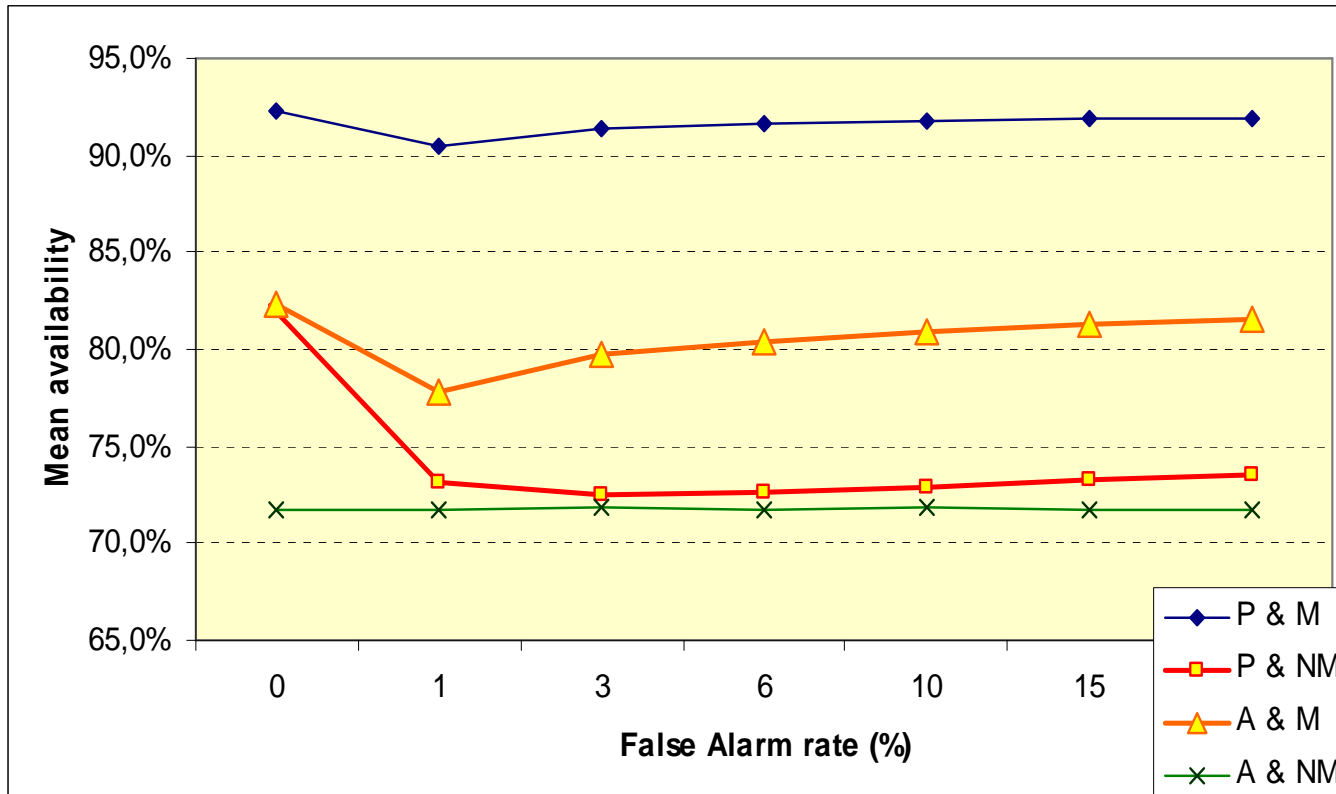


(b) Time evolution of the residual signal

Time evolution of the system and observer's outputs and the residual signal.

## Résultats de simulation [1]

### Cas 1 : La disponibilité moyenne du système global



**P&M**=Redondance passive avec maintenance

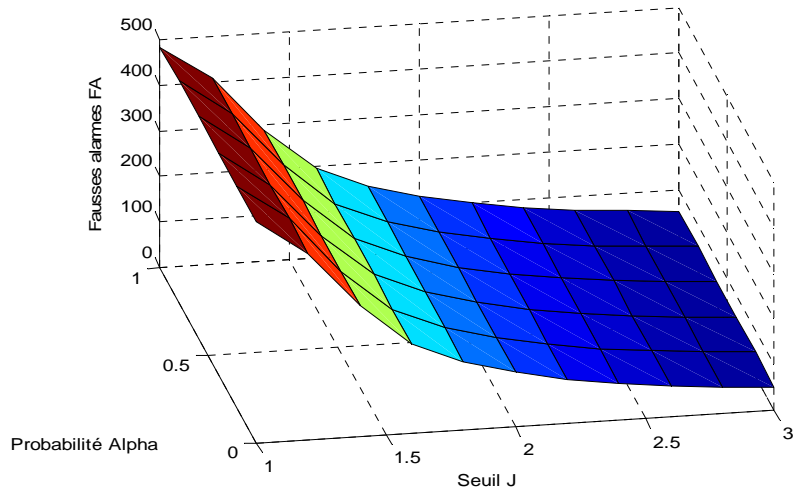
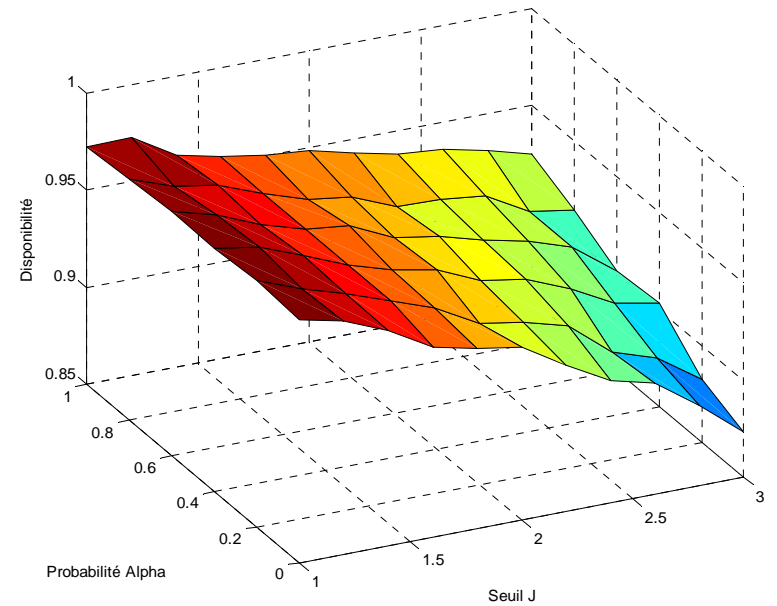
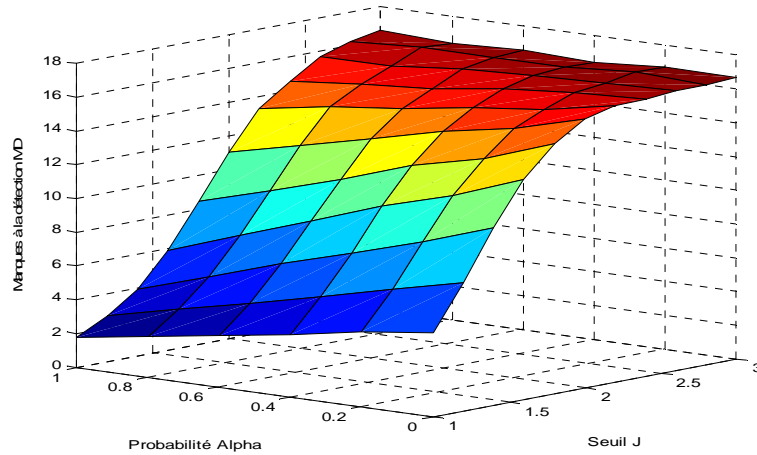
**P&NM**=Redondance passive sans maintenance

**A&M**=Redondance active avec maintenance

**A&NM**=Redondance active sans maintenance

[1] S.Maza, *Journal of Risk and Reliability*, vol. 226, pp. 455-463, 2012.

## Résultats de simulation



# Introduction

Un peu de littérature...

**Il y a cependant de plus en plus de travaux qui traitent de la modélisation, l'analyse et l'évaluation des systèmes tolérants aux fautes:**

- (1) Les travaux liés à l'évaluation de la fiabilité dynamique (ex. Travaux de Castaneda et al., Y.Dutuit, ...)**
- (2) (Weber et al., Schön et al.) Sur la prise en compte des informations sur la fiabilité des composants pour la reconfiguration de la commande tolérante aux fautes**
- (3) (Aslünd et al.) Sur la prise en compte des performances du diagnostic pour l'analyse de la sécurité par les arbres de causes.**